УЛК 534.16

ОБЪЕМНЫЕ ВОЛНЫ, ИНДУЦИРОВАННЫЕ СОСРЕДОТОЧЕННЫМИ СИЛОВЫМИ ВОЗДЕЙСТВИЯМИ

© 2024 г. А. В. Ильяшенко^{1,*}

¹Московский государственный строительный университет, Москва, Россия *e-mail: IlyashenkoAV@mgsu.ru

Поступила в редакцию 07.06.2024 г. После доработки 05.09.2024 г. Принята к публикации 10.09.2024 г.

Анализируются объемные волны в изотропном упругом пространстве, распространяющиеся по линии действия сосредоточенной силовой особенности. Показано, что на линии действия силовой особенности помимо P-волны распространяется также S-волна. Отмечены ошибочные утверждения, обнаруженные в ряде публикаций, об отсутствии S-волн на линии действия силовой особенности.

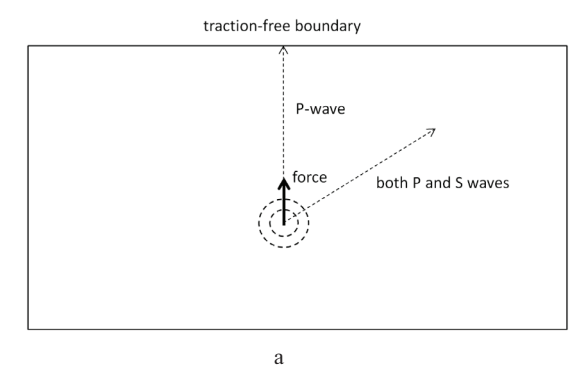
Ключевые слова: объемная волна, изотропия, силовая особенность, представление Гельмгольца, девиатор деформаций

DOI: 10.31857/S0032823524050069 EDN: JPKIGU

1. Введение. Ниже дается краткий обзор исследований по волнам в изотропном упругом пространстве, в которых исследуются объемные акустические волны, появляющиеся на линии действия силовой особенности.

В одной из первых работ по объемным волнам в изотропной упругой среде [1, 2], где анализировались сейсмограммы, вызванные точечным δ -образным (по временной переменной) силовым воздействием, расположенным в изотропном упругом полупространстве, был отмечен феномен появления всплеска на сейсмограмме, характерного по времени прихода для S-волны (рис. 1).

Факт присутствия на сейсмограммах пика, характерного для прихода S-волны, в дальнейшем неоднократно отмечался как в экспериментальных [3-5], так и в теоретических [6-20] исследованиях волновых процессов, связанных с решением внутренней задачи Лэмба [21], аналогичный эффект наблюдался и при численных исследованиях внутренней задачи Лэмба [22-27]. На рис. 1,6, показана сейсмограмма вертикальной компоненты смещения (в точке на линии действия сосредоточенной силовой особенности), имеющая пик, отвечающий приходу S-волны. Надо отметить, что горизонтальная компонента смещений на линии действия силы нулевая, см. рис. 1,б. В большинстве теоретических исследований [6–9, 16] появление этого пика, объясняется наличием соответствующего полюса в несобственных интегралах, описывающих решение для объемных волн, появляющихся при решении внутренней задачи Лэмба. В этой связи особый интерес представляют работы [28-30], в которых отмечено, что на линии действия силовой особенности, являющейся осью симметрии, поперечные волны не могут возникать, поскольку последние из-за присутствия касательных компонент напряжений и деформаций необходимо кососимметричны в окрестности линии действия силы.



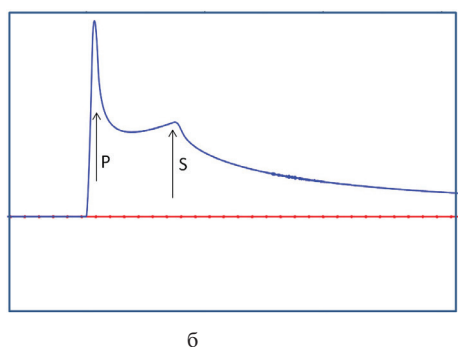


Рис. 1. а) Схема внутренней задачи Лэмба для вертикального силового воздействия в виде временного δ-образного импульса; б) Сейсмограмма на линии действия силовой особенности [25], показывающая наличие пика на сейсмограмме вертикальной компоненты перемещений, отвечающего приходу S волны

Ниже показано, что во внутренней задаче Лэмба для изотропного упругого полупространства или полуплоскости, см. рис. 1,а, на оси симметрии, определяемой линией действия силовой особенности, (i) *S*-волна существует; (ii) эта волна не содержит касательных компонент тензора напряжений, нормальных к оси симметрии; и (iii) горизонтальные компоненты смещения равны нулю. Решение рассматриваемой задачи связано с представлением Гельмгольца для поля смещений [31] и разложением тензорных полей на девиаторные и шаровые тензоры [32].

2. Уравнения движения

Линейные уравнения движения для изотропной упругой среды могут быть записаны в виде [31]

$$\left(c_p^2 \nabla_{\mathbf{x}} \operatorname{div}_{\mathbf{x}} - c_s^2 \operatorname{rot}_{\mathbf{x}} \operatorname{rot}_{\mathbf{x}} - \mathbf{I} \partial_{tt}^2\right) \mathbf{u}(\mathbf{x}, t) = 0, \tag{2.1}$$

где **u** — поле смещений, **x** — пространственные координаты, t — время, **I** — единичный тенор второго ранга, c_p и c_s — скорости объемных P- и S-волн соответственно

$$c_P = \sqrt{\frac{\lambda + 2\mu}{\rho}}, \quad c_S = \sqrt{\frac{\mu}{\rho}}$$
 (2.2)

В этих соотношениях ρ — плотность среды, а λ и μ — параметры Ламе, связанные с модулем Юнга E и коэффициентом Пуассона ν соотношениями

$$\lambda = \frac{E\nu}{(1 - 2\nu)(1 + \nu)}, \qquad \mu = \frac{E}{2(1 + \nu)}$$
 (2.3)

Представление Гельмгольца для поля смещений имеет вид [31]

$$\mathbf{u}(\mathbf{x},t) = \nabla_{\mathbf{x}} \varphi(\mathbf{x},t) + \operatorname{rot}_{\mathbf{x}} \psi(\mathbf{x},t), \tag{2.4}$$

где ϕ — скалярный, а ψ — векторный потенциал. Подстановка представления (2.4) в уравнения движения (2.1) и исключение из рассмотрения линейных (по пространственным координатам) составляющих, дает [32]

$$\left(c_P^2 \Delta_{\mathbf{x}} - \partial_{tt}^2\right) \nabla_{\mathbf{x}} \varphi(\mathbf{x}, t) = 0, \qquad \left(c_S^2 \Delta_{\mathbf{x}} - \partial_{tt}^2\right) \operatorname{rot}_{\mathbf{x}} \psi(\mathbf{x}, t) = 0 \tag{2.5}$$

Уравнения (2.5) показывают, что скалярным потенциалом ϕ определяется объемная P волна, а векторным потенциалом ψ — объемная S волна [32].

3. Разложение тензорных полей на девиаторный и шаровой тензоры

Инфинитезимальное поле деформаций определяется по полю смещений соотношениями Коши [32]

$$\mathbf{\varepsilon}(\mathbf{x},t) = \frac{1}{2} \left(\nabla_{\mathbf{x}} \mathbf{u}(\mathbf{x},t) + \nabla_{\mathbf{x}} \mathbf{u}(\mathbf{x},t)^{T} \right)$$
(3.1)

Шаровой тензор, определяемый тензором деформаций, представим в виде [32]

$$\theta \mathbf{I} \equiv \operatorname{tr}(\mathbf{\varepsilon})\mathbf{I} = (\operatorname{div}_{\mathbf{x}}\mathbf{u})\mathbf{I}, \tag{3.2}$$

где θ — объемная деформация. Аналогичным образом определяется девиатор деформаций \mathbf{e} [32]

$$\mathbf{e} = \mathbf{\varepsilon} - \frac{1}{3}\theta \mathbf{I} \tag{3.3}$$

Подстановка представления Гельмгольца (2.4) в выражение (3.2), дает [33]

$$\theta(\mathbf{x},t) = \Delta_{\mathbf{x}} \phi(\mathbf{x},t) \tag{3.4}$$

Таким образом, объемная деформация однозначно определяется скалярным потенциалом, однако, девиатор (3.3) определяется как скалярным, так и векторным потенциалом [33, 34]

$$\mathbf{e}(\mathbf{x},t) = \left(\nabla_{\mathbf{x}}\nabla_{\mathbf{x}} - \frac{1}{3}\mathbf{I}\Delta_{\mathbf{x}}\right)\varphi(\mathbf{x},t) + \frac{1}{2}\left(\nabla_{\mathbf{x}}\operatorname{rot}_{\mathbf{x}}\psi(\mathbf{x},t) + \nabla_{\mathbf{x}}\operatorname{rot}_{\mathbf{x}}\psi(\mathbf{x},t)^{T}\right)$$
(3.5)

Рассматривая закон Гука для изотропной среды в форме соотношений между девиаторными и шаровыми компонентами [32]

$$p(\mathbf{x},t) = -K\theta(\mathbf{x},t), \qquad \mathbf{s}(\mathbf{x},t) = \mu \mathbf{e}(\mathbf{x},t), \tag{3.6}$$

где p — давление, s — девиатор напряжений, а K — объемный модуль,

$$K = \lambda + \frac{2}{3}\mu,\tag{3.7}$$

получим следующие выражения для объемной и девиаторной составляющей тензора напряжений в терминах соответствующих потенциалов [11]

$$p(\mathbf{x},t) = -K\Delta_{\mathbf{x}}\phi(\mathbf{x},t), \ \mathbf{s}(\mathbf{x},t) = \mu(\mathbf{A}_{1}(\partial_{\mathbf{x}},\partial_{\mathbf{x}})\phi(\mathbf{x},t) + \mathbf{A}_{2}(\partial_{\mathbf{x}},\partial_{\mathbf{x}})\psi(\mathbf{x},t)), \tag{3.8}$$

гле

$$\mathbf{A}_{1}(\partial_{x},\partial_{x}) = \nabla_{x}\nabla_{x} - \frac{1}{3}\mathbf{I}\Delta_{x}, \ \mathbf{A}_{2}(\partial_{x},\partial_{x}) = \frac{1}{2}\left(\nabla_{x}\operatorname{rot}_{x} + \nabla_{x}\operatorname{rot}_{x}^{T}\right)$$
(3.9)

Из (3.8), (3.9) следует, что в динамических задачах возмущение, связанное с девиатором напряжений, может распространяться либо со скоростью P-волны, если выполнены условия

$$\mathbf{A}_{1}(\partial_{\mathbf{x}},\partial_{\mathbf{x}})\mathbf{\varphi}(\mathbf{x},t) \neq 0$$
 и $\mathbf{A}_{2}(\partial_{\mathbf{x}},\partial_{\mathbf{x}})\mathbf{\psi}(\mathbf{x},t) = 0,$ (3.10)

либо со скоростью S-волны, если

$$\mathbf{A}_{1}(\partial_{\mathbf{x}}, \partial_{\mathbf{x}})\phi(\mathbf{x}, t) = 0 \,\mathrm{id} \,\mathbf{A}_{2}(\partial_{\mathbf{x}}, \partial_{\mathbf{x}})\psi(\mathbf{x}, t) \neq 0, \tag{3.11}$$

либо часть девиатора может двигаться со скоростью P-волны, а другая со скоростью S-волны, если

$$\mathbf{A}_{1}(\partial_{\mathbf{x}}, \partial_{\mathbf{x}})\phi(\mathbf{x}, t) \neq 0 \text{ if } \mathbf{A}_{2}(\partial_{\mathbf{x}}, \partial_{\mathbf{x}})\psi(\mathbf{x}, t) \neq 0$$
(3.12)

4. Динамические поля на линии действия силы

В случае пространственной внутренней задачи Лэмба поле напряжений на линии действия силы представимо в виде [14]

$$\sigma(\mathbf{x},t)\big|_{\mathbf{x}\in I} = f(\mathbf{x},t)\mathbf{n}\otimes\mathbf{n} + g(\mathbf{x},t)\big(\mathbf{I}-\mathbf{n}\otimes\mathbf{n}\big),\tag{4.1}$$

где l — линия действия силы, \mathbf{n} — единичный вектор, совпадающий с направлением действия силы, $x = \mathbf{x} \cdot \mathbf{n}$ — координата вдоль линии действия силы, f(x,t) — функция, описывающая распространение волнового фронта компоненты напряжений σ_{nn} вдоль оси x, g(x,t) — функция, описывающая распространение волнового фронта, связанного с компонентами, ортогональными к σ_{nn} . Заметим, что в силу осевой симметрии, тензор $\sigma(\mathbf{x},t)\Big|_{\mathbf{x}\in l}$ в выбранной системе координат не содержит касательных компонент.

Разложение поля напряжений (4.1) на шаровой и девиаторный тензор дает

$$p(x,t) = -\frac{2g(x,t) + f(x,t)}{3}, \quad \mathbf{s}(x,t) = \left(f(x,t) - g(x,t)\right)\left(3\mathbf{n} \otimes \mathbf{n} - \mathbf{I}\right) \tag{4.2}$$

Последнее выражение для девиатора показывает, что условие $\mathbf{s}(x,t)=0$ возможно только при выполнении условия

$$\forall x, t: \quad f(x,t) = g(x,t) \tag{4.3}$$

Однако, как показывает анализ аналитических выражений для усилий во внутренней задаче Лэмба от сосредоточенного силового источника [14,16], условие (4.3) не выполняется ни при каких значениях коэффициента Пуассона $v \in (-1; 0.5)$ и ни при каких (временных) профилях рассматриваемой силовой нагрузки. Таким образом, на линии действия силовой особенности, вне зависимости от временного профиля волны, всегда присутствует девиаторная компонента $\mathbf{s}(x,t)$, причем эта девиаторная компонента не связана со сдвигами в горизонтальной плоскости.

Далее, остается заметить, что в фундаментальном решении Стокса для уравнений движения изотропной упругой среды присутствует векторный потенциал [35]

$$\psi(\mathbf{x},t) = \frac{1}{4\pi\rho} \left[t - \frac{r}{c_s} \right] H \left[t - \frac{r}{c_s} \right] \nabla_{\mathbf{x}} r + \frac{\mathbf{x} - \nabla_{\mathbf{x}} r}{4\pi\rho c_s^2 r} \delta \left[t - \frac{r}{c_s} \right], \tag{4.4}$$

где $r=|\mathbf{x}|, H$ — функция Хэвисайда, δ — функция Дирака. Непосредственная подстановка потенциала (4.4) в соответствующий оператор (3.9), показывает, что $\mathbf{A}_2(\partial_{\mathbf{x}},\partial_{\mathbf{x}})\mathbf{\psi}(\mathbf{x},t)|_{\mathbf{x}\in I}\neq 0$. Таким образом, обеспечивается условие существования S-волны на оси линии действия силы.

Выводы

Показано, что во внутренней задаче Лэмба для изотропного упругого полупространства на оси симметрии, определяемой линией действия силовой особенности, *S*-волна существует и не содержит касательных компонент тензора напряжений в декартовых координатах, одна из осей которых совпадает с линией действия силы.

Представляется, что полученные результаты могут найти применение, как в аналитических, так и в численных и экспериментальных исследованиях при определении волновых полей на линии действия силовых воздействий. Кроме того, появле-

ние S-волны на линии действия силовой особенности, представляет интерес с точки зрения формирования поверхностных волн и, в частности, волн Рэлея [25, 26], дисперсионных волн Рэлея—Лэмба [34, 36], а так же волн Лява [37, 38].

Благодарность. Работа выполнена за счет гранта 24-49-02002 Российского Научного Фонла.

СПИСОК ЛИТЕРАТУРЫ

- 1. Nakano H. On Rayleigh waves // Japan J. Astron. & Geophys. 1925. V. 2. P. 233–326.
- Nakano H. Some problems concerning the propagations of the disturbances in and on semiinfinite elastic solid // Geophys. Mag. 1930. V. 2. P. 189–348.
- 3. Fuchs K., Müller G. Computation of synthetic seismograms with the reflectivity method and comparison with observations // Geophys. J.R. Astr. Soc. 1971. V. 23. P. 417–433.
- 4. *Kennett B.L.N., Kerry N.J., Woodhouse J.H.* Symmetries in the reflection and transmission of elastic waves // Geophys. J.R. Astr. Soc. 1978. V. 52. P. 215–230.
- 5. *Wang, D. et al.* Ground surface response induced by shallow buried explosions // Earthquake Eng. & Eng. Vib. 2014. V. 13. P. 163–169.
- Cagniard L. Reflexion et Refraction des Ondes Seismiques Progressives. Paris: Gauthier-Villard, 1939.
- Lapwood E.R. The disturbance due to a line source in a semiinfinite elastic medium // Phil. Trans. R. Soc. London, Ser. A. 1949. V. 242. P. 63–100.
- 8. Pekeris C.L. The seismic buried pulse // Proc. Nat. Acad. Sci. 1955. V. 41. P. 629–639.
- 9. *Garvin W.W.* Exact transient solution of the buried line source problem // Proc. Roy. Soc. A. 1956. V. 234. P. 528–541.
- 10. *Pekeris C.L.*, *Lifson H*. Motion of the surface of a uniform elastic half-space produced by a burried pulse // J. Acoust. Soc. Am. 1957. V. 29. P. 1233–1238.
- 11. Ewing W.M., Jardetzky W.S., Press F. Elastic Waves in Layered Media. New York: McGraw-Hill, 1957.
- 12. *Payton R.G.* Epicenter motion of an elastic half-space due to buried stationary and moving line sources // Int. J. Solids Struct. 1968. V. 4. P. 287–300.
- Norwood F.R. Similarity solutions in plane elastodynamics // Int. J. Solids Struct. 1973. V. 9(7). P. 789–803.
- Johnson L.R. Green's function for Lamb's problem // Geophys. J.R. Astron. Soc. 1974. V. 37. P. 99–131.
- 15. *Payton R.G.* Epicenter motion of a transversely isotropic elastic half-space due to a suddenly applied buried point source // Int. J. Engng. Sci. 1979. V. 17. P. 879–887.
- 16. Poruchikov V.B. Methods of the Classical Theory of Elastodynamics. Berlin: Springer. 1993.
- 17. Willams D.P., Craster R.V. Cagniard-de Hoop path perturbations with applications to nongeometric wave arrivals // J. Eng. Math. 2000. V. 37. P. 253–272.
- 18. Sanchez-Sesma F, Iturraran-Viveros U. The classic Garvin's problem revisited // Bull. Seismol. Soc. Am. 2006. V. 96(4A). P. 1344–1351.
- 19. *Sanchez-Sesma F, Iturraran-Viveros U., Kausel E.* Garvin's generalized problem revisited // Soil Dyn. Earthquake Eng. 2013. V. 47. P. 4–15.
- Feng X., Zhang H. Exact closed-form solutions for Lamb's problem // Geophys. J. Int. 2018.
 V. 214. P. 444–459.
- 21. *Lamb H*. On the propagation of tremors over the surface of an elastic solid // Philos. Trans. Roy. Soc. London A. 1904. V. 203. P. 1–42.
- Kuznetsov S.V. "Forbidden" planes for Rayleigh waves // Quart. Appl. Math. 2002. V. 60. P. 87–97.
- Kravtsov A.V. et al. Finite element models in Lamb's problem // Mech. Solids. 2011. V. 46. P. 952–959.
- 24. Kuznetsov S.V. Seismic waves and seismic barriers // Acoust. Phys. 2011. V. 57. P. 420–426.
- 25. *Terentjeva E.O. et al.* Planar internal Lamb problem: Waves in the epicentral zone of a vertical power source // Acoust. Phys. 2015. V. 61. P. 356–367.
- Il'yasov K.K. et al. Exterior 3D Lamb problem: Harmonic load distributed over a surface // Mech. of Solids. 2016. V. 51. P. 39–45.

- 27. *Li S. et al.* Benchmark for three-dimensional explicit asynchronous absorbing layers for ground wave propagation and wave barriers // Comp. Geotech. 2021. V. 131. Paper 103808.
- 28. Dai Y., Yan S., Zhang B. Acoustic field excited by single force with arbitrary direction in semi-infinite elastic space // Acoust. Phys. 2019. V. 65. P. 235–245.
- Dai Y., Yan S., Zhang B. Ultrasonic beam focusing characteristics of shear-vertical waves for contact-type linear phased array in solid // Chinese Phys. B. 2020. V. 29. Paper 034304.
- 30. *Dai Y., Yan S., Zhang B.* Research on ultrasonic multi-wave focusing and imaging method for linear phased arrays // Chinese Phys. B. 2021. V. 30, Paper 074301.
- 31. Auld B.A. Acoustic Fields and Waves in Solids. Malabar (Florida): Krieger Pub., 1990.
- 32. *Gurtin M.E.* The linear theory of elasticity // in: Linear Theories of Elasticity and Thermoelasticity / Ed. by *Truesdell C.* Berlin; Heidelberg: Springer., 1973.
- 33. Goldstein R.V. et al. The modified Cam-Clay (MCC) model: cyclic kinematic deviatoric loading // Arch. APl. Mech. 2016. V. 86. P. 2021–2031.
- 34. *Pao Y.-H.*, *Gajewski R.R*. The generalized ray theory and transient responses of layered elastic solids // Phys. Acoust. 1977. V. 13. P. 183–265.
- 35. *Kupradze V.D.* The Three-Dimensional Problems of the Mathematical Theory of Elasticity and Thermoelasticity. Amsterdam: North-Holland, 1979.
- Ilyashenko A.V. et al. Theoretical aspects of applying Lamb waves in nondestructive testing of anisotropic media // Russ. J. Nondestruct. Test. 2017. V. 53. P. 243–259.
- Kuznetsov S.V. Love waves in stratified monoclinic media // Quart. Appl. Math. 2004. V. 62. P. 749–766.
- 38. Kuznetsov S.V. Love waves in layered anisotropic media // JAMM. 2006. V. 70. P. 116–127.

Body Waves Induced by a Concentrated Force

A. V. Ilvashenko^{a,#}

^aMoscow State University of Civil Engineering, Moscow, Russia [#]e-mail: IlyashenkoAV@mgsu.ru

Body waves in an isotropic elastic space propagating along the line of action of a concentrated force singularity are analyzed. It is shown that along the line of action of the force singularity, in addition to the P-wave, the S-wave also propagates. The erroneous statements found in a number of publications about the absence of S-waves on the line of action of the force singularity are noted.

Keywords: body wave, isotropy, force singularity, Helmholtz representation, deviator

REFERENCES

- 1. Nakano H. On Rayleigh waves // Japan J. Astron. & Geophys., 1925, vol. 2, pp. 233–326.
- Nakano H. Some problems concerning the propagations of the disturbances in and on semi-infinite elastic solid // Geophys. Mag., 1930, vol. 2, pp. 189–348.
- 3. Fuchs K., Müller G. Computation of synthetic seismograms with the reflectivity method and comparison with observations // Geophys. J.R. Astr. Soc., 1971, vol. 23, pp. 417–433.
- Kennett B.L.N., Kerry N.J., Woodhouse J.H. Symmetries in the reflection and transmission of elastic waves // Geophys. J.R. Astr. Soc., 1978, vol. 52, pp. 215–230.
- 5. *Wang, D. et al.* Ground surface response induced by shallow buried explosions // Earthquake Eng.&Eng. Vib., 2014, vol. 13, pp. 163–169.
- Cagniard L. Reflexion et Refraction des Ondes Seismiques Progressives. Paris: Gauthier-Villard, 1939.
- 7. *Lapwood E.R.* The disturbance due to a line source in a semiinfinite elastic medium // Phil. Trans. R. Soc. London, Ser. A, 1949, vol. 242, pp. 63–100.
- 8. Pekeris C.L. The seismic buried pulse // Proc. Nat. Acad. Sci., 1955, vol. 41, pp. 629–639.
- 9. Garvin W.W. Exact transient solution of the buried line source problem // Proc. Roy. Soc. A, 1956, vol. 234, pp. 528–541.
- 10. *Pekeris C.L., Lifson H.* Motion of the surface of a uniform elastic half-space produced by a burried pulse // J. Acoust. Soc. Am., 1957, vol. 29, pp. 1233–1238.

- 11. Ewing W.M., Jardetzky W.S., Press F. Elastic Waves in Layered Media. N.Y.: McGraw-Hill, 1957
- 12. *Payton R.G.* Epicenter motion of an elastic half-space due to buried stationary and moving line sources // Int. J. Solids Struct., 1968, vol.4, pp. 287–300.
- 13. *Norwood F.R.* Similarity solutions in plane elastodynamics // Int. J. Solids Struct., 1973, vol. 9(7), pp. 789–803.
- 14. *Johnson L.R.* Green's function for Lamb's problem // Geophys. J.R. Astron. Soc., 1974, vol. 37, pp. 99–131.
- 15. Payton R.G. Epicenter motion of a transversely isotropic elastic half-space due to a suddenly applied buried point source // Int. J. Engng. Sci., 1979, vol. 17, pp. 879–887.
- 16. Poruchikov V.B. Methods of the Classical Theory of Elastodynamics. Berlin: Springer, 1993.
- 17. Willams D.P., Craster R.V. Cagniard-de Hoop path perturbations with applications to nongeometric wave arrivals // J. Eng. Math., 2000, vol. 37, pp. 253–272.
- 18. Sanchez-Sesma F, Iturraran-Viveros U. The classic Garvin's problem revisited // Bull. Seismol. Soc. Am., 2006, vol. 96(4A), pp. 1344–1351.
- 19. *Sanchez-Sesma F, Iturraran-Viveros U., Kausel E.* Garvin's generalized problem revisited // Soil Dyn. Earthquake Eng., 2013, vol. 47, pp. 4–15.
- Feng X., Zhang H. Exact closed-form solutions for Lamb's problem // Geophys. J. Int., 2018, vol. 214, pp. 444–459.
- 21. *Lamb H*. On the propagation of tremors over the surface of an elastic solid // Philos. Trans. Roy. Soc. London A, 1904, vol. 203, pp. 1–42.
- 22. *Kuznetsov S.V.* "Forbidden" planes for Rayleigh waves // Quart. Appl. Math., 2002, vol. 60, pp. 87–97.
- 23. *Kravtsov A.V. et al.* Finite element models in Lamb's problem // Mech. Solids, 2011, vol. 46, pp. 952–959.
- 24. Kuznetsov S.V. Seismic waves and seismic barriers // Acoust. Phys., 2011, vol. 57, pp. 420–426.
- 25. *Terentjeva E.O. et al.* Planar internal Lamb problem: Waves in the epicentral zone of a vertical power source // Acoust. Phys., 2015, vol. 61, pp. 356–367.
- 26. *Il'yasov K.K. et al.* Exterior 3D Lamb problem: Harmonic load distributed over a surface // Mech. of Solids, 2016, vol. 51, pp. 39–45.
- 27. *Li S. et al.* Benchmark for three-dimensional explicit asynchronous absorbing layers for ground wave propagation and wave barriers // Comp. Geotech., 2021, vol. 131, Paper 103808.
- 28. *Dai Y., Yan S., Zhang B.* Acoustic field excited by single force with arbitrary direction in semi-infinite elastic space // Acoust. Phys., 2019, vol. 65, pp. 235–245.
- 29. Dai Y., Yan S., Zhang B. Ultrasonic beam focusing characteristics of shear-vertical waves for contact-type linear phased array in solid // Chinese Phys. B, 2020, vol. 29, Paper 034304.
- 30. *Dai Y., Yan S., Zhang B.* Research on ultrasonic multi-wave focusing and imaging method for linear phased arrays // Chinese Phys. B, 2021, vol. 30, Paper 074301.
- 31. Auld B.A. Acoustic Fields and Waves in Solids. Malabar (Florida): Krieger Pub., 1990.
- 32. *Gurtin M.E.* The linear theory of elasticity // in: Linear Theories of Elasticity and Thermoelasticity / Ed. by *Truesdell C. Berlin*; Heidelberg: Springer, 1973.
- 33. *Goldstein R.V. et al.* The modified Cam-Clay (MCC) model: cyclic kinematic deviatoric loading // Arch. APl. Mech., 2016, vol. 86, pp. 2021–2031.
- 34. *Pao Y.-H.*, *Gajewski R.R.* The generalized ray theory and transient responses of layered elastic solids // Phys. Acoust., 1977, vol. 13, pp. 183–265.
- 35. *Kupradze V.D.* The Three-Dimensional Problems of the Mathematical Theory of Elasticity and Thermoelasticity. Amsterdam: North-Holland, 1979.
- 36. *Ilyashenko A.V. et al.* Theoretical aspects of applying Lamb waves in nondestructive testing of anisotropic media // Russ. J. Nondestruct. Test., 2017, vol. 53, pp. 243–259.
- 37. *Kuznetsov S.V.* Love waves in stratified monoclinic media // Quart. Appl. Math., 2004, vol. 62, pp. 749–766.
- 38. Kuznetsov S.V. Love waves in layered anisotropic media // JAMM, 2006, vol. 70, pp. 116–127.